

장액성 상피성 난소암에서 TLR-4의 발현

성균관대학교 의과대학 삼성서울병원 산부인과학교실

최철훈 · 이정원 · 최정주 · 김우영 · 김태중 · 이제호 · 김병기 · 배덕수

목적 : 본 연구의 목적은 장액성 상피성난소암 조직에서 Toll-like receptor 4 (TLR-4)의 발현을 보고자 하였다.

연구 방법 : 동결보존 된 9개의 정상난소 표본조직과 24개의 장액성 상피성난소암 표본조직에서 각각 TLR-4의 mRNA 발현을 정량적으로 분석하기 위해 real-time quantitative RT-PCR 방법을 사용하였다. 또한 각각 3개씩의 파라핀 조직절편을 이용하여 TLR-4 단백질에 대한 면역조직화학염색을 시행하였다.

결과 : 면역조직화학염색 결과 정상난소조직에서는 상피세포와 기질세포에서 각각 TLR-4 단백질이 발현되었으나, 난소암 조직에서는 발현되지 않았다. TLR-4 mRNA의 발현은 정상난소조직과 상피성 난소암조직 모두에서 관찰되었으나, 난소암조직에서 정상난소 조직에 비하여 유의하게 낮게 발현되었다($p=0.0003$). 난소암 환자의 임상변수와 TLR4 mRNA의 발현 사이에는 유의한 상관관계를 보이지 않았으나 grade가 낮거나($p=0.075$) 림프절 전이가 없는($p=0.068$) 종양에서 TLR-4 mRNA의 발현이 더 증가하는 경향을 보였다.

결론 : 장액성 상피성난소암조직에서 TLR-4 mRNA는 정상난소 조직에서보다 유의하게 낮은 발현을 보였고 난소암에서 TLR-4 signaling의 역할에 대한 추가연구가 필요할 것으로 보인다.

중심단어 : Toll-like receptor 4, 장액성 상피성난소암

서 론

만성염증은 종양의 발생과 진행에 있어 중요한 환경인자의 하나로 인식되고 있다.^{1,2} 대장의 만성염증성질환인 궤양대장염(ulcerative colitis) 환자에서 대장암의 발생위험은 10배에 이른다고 알려져 있다. 또한 만성간염이 간암의 위험인자라는 것은 잘 알려져 있고,³ 난소에 염증성 환경을 유발하는 난소 자궁내막증 환자는 난소암에 이환될 가능성이 있다고 되어있다.^{4,6} 이에 대한 기전으로 염증세포가 cytokine이나 chemokine을 생성함으로써 암을 유발하는 기전에 대해서는 점차 많이 알려지고 있다.¹

적응면역(adaptive immune system)은 종양의 성장을 억제하지만, 선천면역(innate immune system)은 inflammation-dependent 기전으로 종양의 성장을 유도한다고 생각되어지고 있다.^{1,7} 대식세포(macrophage)와 같은 선천면

역세포에 의해 세균 또는 바이러스의 생산물이 인지될 경우에 종양의 진행과 관련한 염증반응을 유도할 수 있다.³ 하나의 예로 수술 후 세균감염이 일어난 경우에 종양의 성장이나 전이가 발생한다는 사실은 동물실험에서 관찰된 바 있다.³

Toll-like receptor (TLR)는 type I transmembrane signaling molecule로 선천면역을 담당하는 세포에서 주로 발현되어 있다. 이 세포에서 TLR은 미생물의 특이적인 구조를 인식해서 면역반응을 일으키는 신호를 전달한다. Toll은 원래 초파리의 발생과정에 관여하는 유전자로 처음 클론닝이 되었으나, 이후 여러 연구를 통하여 초파리의 선천면역반응에도 관여한다는 사실이 알려졌다.⁸ 이런 새로운 연구결과를 바탕으로 포유류에서도 Toll과 유사성을 가지는 유전자를 찾게 되었고, 그 결과 1997년에 최초로 사람에서 TLR을 클론닝 하게 되었으며, 그 후 지금까지 총 13종류의 TLR유전자가 발견되어 TLR family를 이루고 있다.⁹ TLR family에 속하는 분자는 일반적으로 extracellular region에 leucine-rich repeat (LRR) motif가 있고 IL-1 수용체와 비슷한 cytoplasmic domain이 존

논문접수일 : 2007년 5월 1일 채택일 : 2007년 5월 31일
교신저자 : 배덕수, 135-710 서울시 강남구 일원동 50
삼성서울병원 산부인과
전화 : 02) 3410-3511 · 전송 : 02) 3410-0630
E-mail : ds123.bae@samsung.com

재한다. TLR은 extracellular domain을 통해서 pathogen-associated molecular patterns (PAMPs)을 인식하며 그 결과 선천면역세포에서 염증성 세포 활성화를 유도하게 된다.¹⁰ TLR의 신호전달은 nuclear factor κ B (NF- κ B)와 extracellular signal-regulated kinase (ERK)/c-Jun-NH₂-kinase (JNK)/p38 등을 활성화시킴으로써 여러 면역과 관련된 단백질을 조절한다고 알려져 있다.¹¹

TLR-4는 그람음성세균의 세포막에 발현되는 lipopolysaccharide (LPS)의 수용체로 작용하며,¹² LPS를 인지하면 MyD88과 NF- κ B의 활성화를 통해서 IL-6, TNF- α , IL-12와 같은 proinflammatory cytokine을 생산할 수 있다. 그람음성세균, LPS, TLRs, TNF- α , NF- κ B 등과 염증과의 관계는 잘 규명되어있으나, TLR과 암과의 관련성은 아직은 확실히 규명되어 있지 않다.

TLR의 발현과 암과의 관련성에 대해서는 아직 많은 연구가 이루어지지 않았지만, 전립선암,¹³ 위암,¹⁴ 폐암,¹⁵ 그리고 유방암에서¹⁶ TLR의 발현에 대해 보고된 바 있다. Schmausser 등은 정상 위점막세포와는 달리 위암세포나 그 전구세포에서 TLR-4와 TLR-5의 발현이 증가되었다고 보고하였다.¹⁴ Kelly 등은 처음으로 상피성 난소암에서 TLR-4의 발현을 보고하였고 난소암 세포가 선천면역세포와 비슷하게 proinflammatory cytokine을 생산하여 결과적으로 암세포의 성장과 생존에 도움을 받는다고 하였다.¹⁷

이에 저자들은 정상난소조직과 장액성 상피성난소암 조직에서 TLR-4의 발현을 비교하고자 하였다.

연구 대상 및 방법

1. 연구대상

Quantitative real time RT-PCR (qRT-PCR)을 위해서 기관윤리위원회의 승인 후 얻어진 24개의 장액성 난소암의 동결보존 조직을 이용하였다. 실제 암세포의 분포를 확인하기 위해 H&E 염색을 시행하였으며, 8명(33.3%)에서 90% 이상, 7명(29.2%)에서 70% 이상, 5명(20.8%)에서 50% 이상, 그리고 4명(16.7%)에서는 30% 이상 암세포가 존재함을 확인하였다. 대조군으로는 양성 자궁질환으로 수술을 시행하는 중에 난소절제를 시행했던 환자로부터 얻어진 정상난소상피조직의 동결보존절편을 이용하였다(9개). 모든 조직은 삼성서울병원에서 수

술을 시행 받은 환자들로부터 얻었다.

난소암 환자의 병기는 각각 IIc가 1명(4%), IIIb가 3명(12.5%), IIIc가 17명(70.8%) 그리고 IV가 3명(12.5%)이었다. Grade 1-2는 4명(16.7%)이었고 3은 20명(83.3%)이었다.

2. Quantitative real-time RT-PCR (qRT-PCR, 정량 역전사 폴리메라아제 연쇄반응)

정상난소조직과 장액성 상피성난소암 환자에서 얻어진 표본 조직에서 각각 TLR-4의 mRNA 발현을 정량적으로 분석하기 위해 qRT-PCR 방법을 사용하였다. 먼저 표본조직으로부터 easy-spinTM [genomic DNA free] Total RNA Extraction Kit (iNtRON Biotechnology, Seoul, Korea)를 이용하여 genomic DNA가 배제된 RNA (total RNA)만을 추출하였다. 전체 RNA 농도는 NanoDrop[®] ND-1000 Spectrophotometer (NanoDrop Technologies, Rockland, DE)를 이용하여 정제도를 확인하고 정량하였다. 4 μ g의 전체 RNA로부터 2.5 μ M의 random hexamer primers (Applied Biosystems, Foster City, CA)와 200U의 Superscript III Reverse Transcriptase (Invitrogen Corporation, Carlsbad, CA)를 이용하여 cDNA (complementary DNA)를 역전사 합성하였다.

TLR-4 mRNA의 발현 정도를 정량하기 위해 qRT-PCR 분석은 ABI Prism[®] 7000 Sequence Detection System (Applied Biosystems)을 이용한 TaqMan 방법으로 평가하였다.¹⁸ TaqMan 방법은 기존 PCR방법에 사용된 primer 쌍에 probe가 추가된 3개의 탐침자(oligo)로 PCR을 수행하게 되어 발현정확도와 특이성이 높다. TLR-4 발현에 사용한 TaqMan 제품(Hs00152939, probe 5'-TGCTGGA-TTTATCCAGGTGTGAAAT-3', Applied Biosystems)은 TLR-4 (NM_138554.2, exon 2-3,) 두 exon 연결부분에서 연쇄반응이 수행되어 genomic DNA의 증폭이 배제된다. 내재 대조(endogenous control) 유전자는 인간 GAPDH (4310884E, carboxyl-tetramethylrhodamine Probe, Applied Biosystems)를 사용하였다. 연쇄반응 시 최종부피는 20 μ l가 되도록 하였으며, 최종농도는 완충용액의 경우 1 \times TaqMan universal PCR master mix (Applied Biosystems)이고, cDNA의 경우 각 시료의 RNA 10 ng에서 역전사되도록 하였다. 연쇄반응 수행절차는 4°C에서 준비하여 50°C에서 2분 경과 후 AmpliTaq Gold 폴리머라제가 활성화되도록 95°C에서 10분 수행하였고, 이어서 95°C에서

15초, 60°C에서 1분을 40회 반복 수행하였다. 각 연쇄반응은 모든 조직시료를 대상으로 3회 반복 실험하였으며, 각 시료의 발현결과 비교분석은 제조사에서 권고한 표준 곡선분석법(standard curve method)을 사용하였다. TLR4 유전자의 발현양을 측정하기 위해 동일시료 cDNA를 사용하여 GAPDH 발현양을 측정하여 정량하였다.

3. 면역조직화학염색

면역조직화학염색은 포르말린으로 고정된 파라핀 조직 절편을 이용한 avidin-biotin-complex peroxidase 방법(DakoCytomation, Denmark)을 이용하였다. 4 µm 두께의 조직절편을 poly-L-lysine으로 코팅된 슬라이드 유리에 올려놓고 37°C에서 밤사이 건조하였다. 이 절편들을 xylene에서 탈파라핀화시키고 graded 에탄올과 phosphate buffered saline (PBS, pH 7.4)에 차례로 씻어내었다. 항체 결합의 정확성을 높이기 위해서 절편들을 마이크로파를 이용하여 20분간 citrate buffer (pH 6.0, S 2367; DakoCytomation, Denmark)로 전 처치하였다. 내인성 과산화효소(endogenous peroxidase)의 활성도는 3% 과산화수소에 15분간 처리하여 차단되었으며 단백질용액에 10분간 전배양하였다. 절편들은 anti-TLR-4 antibody (Santa Cruz Biotechnology)를 이용하여 밤사이 4°C humid chamber에서 염색하였다. 슬라이드는 PBS에서 3회 세척 후 secondary biotinylated antibody와 함께 30분간 실온에서 배양하였다. 항원-항체 복합체는 avidin-biotin-peroxidase method로 검출하였으며 제조 프로토콜에 따라 색소 기질(Vectastain ABC-kit, Vector Laboratories, Burlingame, CA)은 diaminobenzidine을 사용하였다. 조직 절편들은 hematoxylin으로 역 염색하여 광학 현미경으로 관찰하였다.

4. 통계학적 분석

통계 분석에는 SPSS 11.0 (SPSS, Inc, Chicago, IL, USA)을 사용하였다. qRT-PCR로 평가한 평균 TLR-4 발현의 비교를 위해 Wilcoxon Two-Sample Test를 이용하였다. 유의성 판정은 p값이 0.05 미만인 경우 통계적 의미가 있는 것으로 간주하였다.

결 과

대상환자들의 임상병리학적 특징은 Table 1과 같다.

적절한 종양감축술(optimal cytoreduction)이 가능했던 환자는 12명(50.0%)이었고 림프절 전이가 있었던 환자는 6명(25.0%)이었다. 모든 환자에서 수술 후 taxane과 platinum의 병합항암화학요법을 시행 받았으며 항암요법 후 영상의학적 검사와 종양표지검사로 평가한 완전 관해는 19명(79.2%)에서 관찰되었다. 치료 후 최소 12개월의 추적관찰을 할 수 있었던 19명 중 6명(31.6%)에서 12개월 이내에 재발이 발생하였다.

Table 1. Clinicopathological characteristics and TLR4 mRNA expression of 24 patients with serous adenocarcinoma

| | No. of patients (%) | Mean value of mRNA expression (SD) | p value* |
|-----------------------------------|---------------------|------------------------------------|----------|
| Median age, years (range) | 49.5 (32~75) | | |
| FIGO stage | | | |
| IIC | 1 (4.2) | 29.3 | 0.99 |
| IIIB | 3 (12.5) | 64.8 (47.4) | |
| IIIC | 17 (70.8) | 52.7 (95.5) | |
| IV | 3 (12.5) | 59.3 (65.5) | |
| Histologic grade | | | |
| I-II/III | 4 (16.7) | 166.4 (171.9) | 0.075 |
| III/III | 20 (83.3) | 31.6 (24.0) | |
| Cytoreductive surgery | | | |
| Optimal | 12 (50.0) | 41.2 (31.9) | 0.46 |
| Suboptimal | 10 (41.7) | 69.7 (126.1) | |
| NA | 2 (8.3) | | |
| LN metastasis | | | |
| Present | 6 (25.0) | 15.4 (4.5) | 0.068 |
| Absent | 5 (20.8) | 42.9 (36.6) | |
| NA | 13 (54.2) | | |
| Response to adjuvant chemotherapy | | | |
| NED | 19 (79.2) | 43.2 (36.1) | 0.53 |
| Residual disease | 3 (12.5) | 145.0 (231.7) | |
| NA | 2 (8.3) | | |
| Disease-free interval | | | |
| > 12 months | 13 (54.2) | 61.8 (109.1) | 0.86 |
| ≤ 12 months | 6 (25.0) | 53.2 (48.6) | |
| NA | 5 (20.8) | | |

SD; standard deviation, NA; not available, NED; no evidence of disease

*Wilcoxon two-sample test

1. qRT-PCR 결과

본 연구에서는 TLR-4 발현의 민감도를 높이기 위해 qRT-PCR 방법을 사용하였다. 정상난소조직과 상피성 난소암조직 모두에서 TLR-4 mRNA는 발현되는 것으로

관찰되었다(Fig. 1A). 그러나 장액성 난소암에서 정상난소 조직에 비하여 유의하게 낮게 발현되었다(Fig. 1B).

임상변수와 TLR-4 mRNA 발현 사이에는 유의한 상관관계를 보이지 않았다(Table 1). 그러나 grade가 낮거나

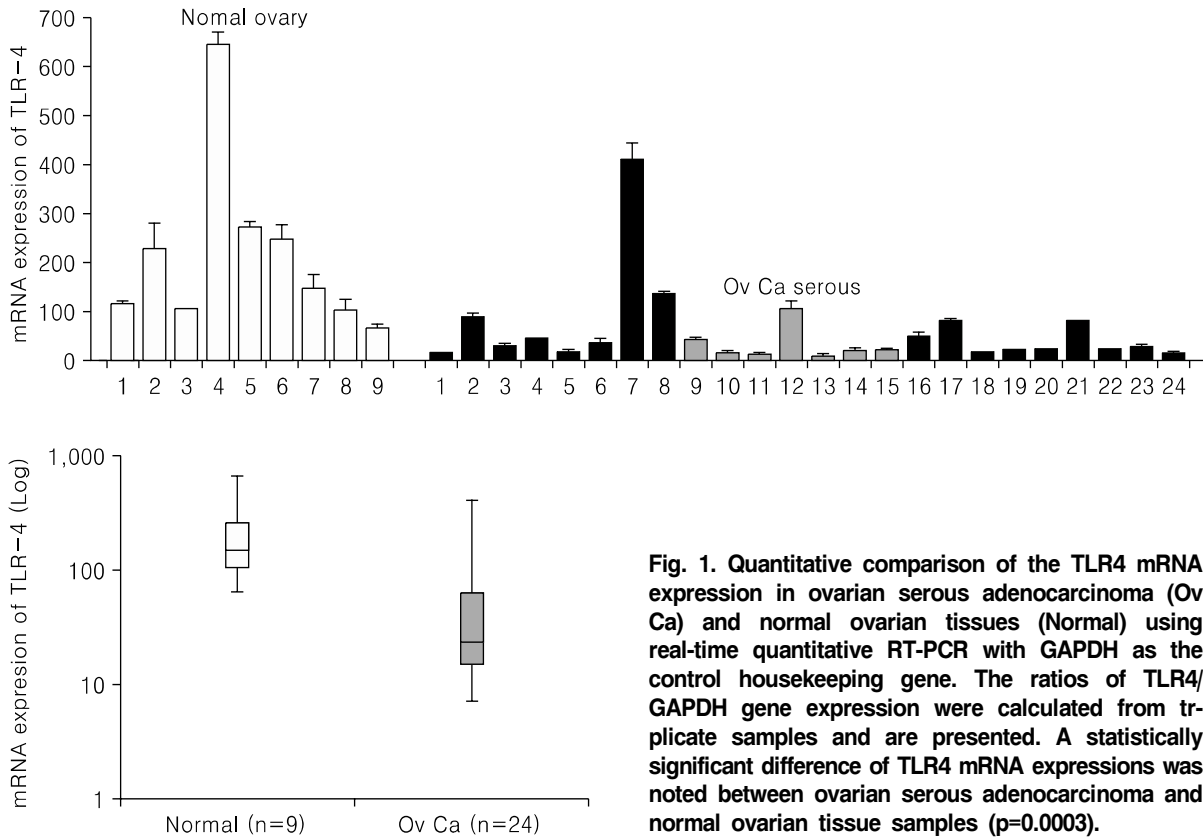


Fig. 1. Quantitative comparison of the TLR4 mRNA expression in ovarian serous adenocarcinoma (Ov Ca) and normal ovarian tissues (Normal) using real-time quantitative RT-PCR with GAPDH as the control housekeeping gene. The ratios of TLR4/GAPDH gene expression were calculated from triplicate samples and are presented. A statistically significant difference of TLR4 mRNA expressions was noted between ovarian serous adenocarcinoma and normal ovarian tissue samples (p=0.0003).

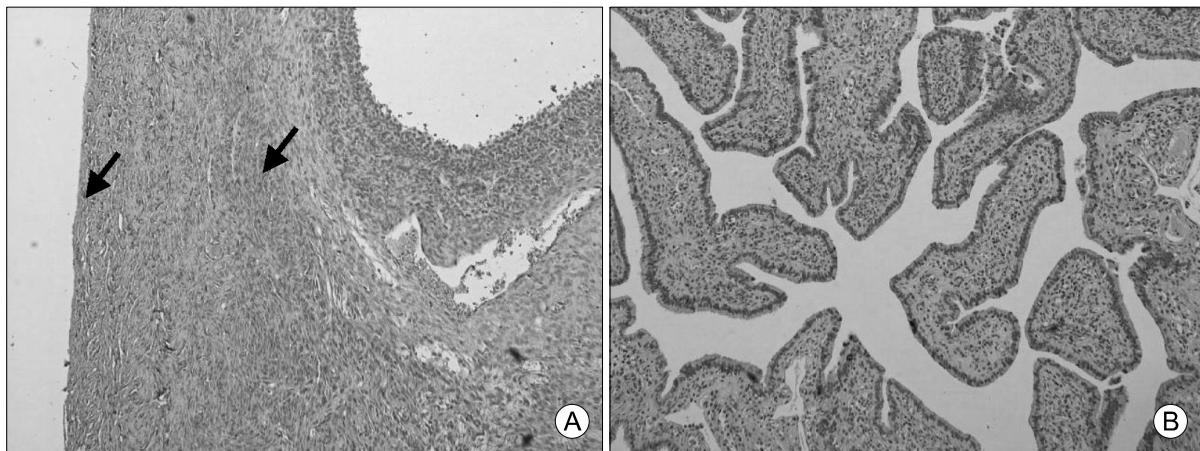


Fig. 2. Immunohistochemical staining of TLR4 in ovarian tissues. (A) Epithelium and stroma of the normal ovarian tissue showing positive immunostaining. (B) Serous ovarian adenocarcinoma showing no immunostaining (Original magnification, $\times 100$).

($p=0.075$) 림프절 전이가 없는($p=0.068$) 종양에서 TLR-4 mRNA의 발현이 더 증가하는 경향을 보였다.

2. 면역조직화학염색 결과

각각 3개의 정상난소조직과 장액성 난소암 조직절편에서 면역조직화학염색을 시행하였다. 정상난소조직에서는 상피세포와 기질 세포에서 각각 TLR-4 단백질이 발현되었으나(2+: 1예, 3+: 2예), 난소암 조직에서는 발현되지 않았다(0: 2예, 1+: 1예) (Fig. 2).

고 찰

본 연구에서는 정상난소조직과 상피성 난소암조직 모두에서 TLR-4 mRNA가 발현되는 것으로 관찰되었으나, 상피성 난소암조직에서 정상난소조직에 비하여 유의하게 낮은 발현을 보였다. 난소암 환자의 임상변수와 TLR-4 mRNA 발현정도 사이에는 유의한 상관관계를 보이지 않았으나, grade가 낮거나 림프절 전이가 없는 경우에 TLR-4 mRNA의 발현이 더 증가하는 경향을 보였다.

TLR은 proinflammatory cytokine을 발현하게 하는 가장 중요한 receptor pathway 중 하나이다.¹¹ 면역세포에서 발현되며 미생물이나 stress factor들에 반응하여 염증 반응을 시작하게 한다.¹⁹ 비면역세포, 즉, 점막상피나 영양막세포(trophoblast cell)에서도 발현된다고 알려졌으며,^{20,21} 면역세포에서와 같이 proinflammatory cytokine의 분비를 유발한다고 알려졌다.²⁰

세균 또는 바이러스로 인한 염증 반응이 종양의 발생을 유발할 수 있다는 여러 증거들이 있다. 동물실험에 따르면 원발성 종양의 수술적 제거 후 dormant metastases의 빠른 성장이 발생할 수 있으며, LPS가 이러한 현상을 유발하는 매개가 될 수 있다고 보고된 바 있다.²² 4T1 mouse mammary carcinoma cell을 주입한 BALB/c mice에서 LPS를 주사할 경우 폐전이 증가한다고 하였다.²³ LPS는 TLR-4에 의해 인식되는데, TLR-4는 선천면역세포에서 발현된다. TLR-4와 LPS가 결합하게 되면 NF- κ B의 활성화, cytokine/chemokine의 생산과 염증반응이 일어난다.²⁴

Chemokine이 neoplastic process에 영향을 줄 수 있다고 잘 알려지고 있는데, 이는 백혈구를 동원하여 염증환경을 유발함으로써 뿐만 아니라, 주위의 기질세포나 암세

포에 직접 영향을 줌으로써이기도 한다고 보고된다.²⁵ 따라서 TLR-4를 통한 이러한 chemokine의 분비는 염증세포를 동원(recruit)할 뿐만 아니라 종양의 성장이나 진행을 유발할 수 있을 것이라고 하였다.

Kelly 등은 난소암 세포에서도 TLR-4의 발현이 증가되어 있고 선천면역세포와 비슷하게 proinflammatory cytokine을 생산하여 결과적으로 암세포의 성장과 생존에 도움을 받는다고 하였다.¹⁷ 그러나 본 연구에서 기존의 보고와 상반되는 결과를 보인 이유는 정확하지 않지만, 아주 약간의 상피세포만 있는 정상난소 조직이 대조군으로 사용된 결과일 수도 있다. 정상 난소조직에서 TLR-4 mRNA가 발현된다는 보고가 있는데, 난소의 배란과정 중에 난포세포(cumulus)와 과립층 세포(granulosa cell)에서 TLR-4를 포함한 선천면역과 관련된 유전자의 발현이 증가되어 있고 배란에 중요한 역할을 한다고 하였고,²⁶ 또한 돼지와 쥐의 정상난소 조직에서 TLR-4의 발현이 증가된다고 보고된 바 있다.^{27,28} 정상 난소조직으로 인한 bias를 배제하기 위해 난소암 조직을 암세포의 분포정도에 따라 두 군으로 나누어(80% 이상의 암세포가 존재하는 13조직과 80% 이하의 암세포가 존재하는 11조직) TLR-4 mRNA 발현정도를 비교하였을 때 각각의 평균 발현은 72.5와 32.2였다($p=0.2$). 향후에 면역조직화학염색 등의 추가 연구가 좀더 정확한 정보를 제공할 수 있을 것으로 보인다.

또한 Kelly 등에 따르면 상피성 난소암세포에서 LPS 처치에 대한 반응은 서로 다른 양상을 보였는데, 이는 TLR의 세포 내 신호전달분자인 MyD88의 발현유무에 따른다고 하였다.¹⁷ MyD88이 발현되는 경우에는, LPS 처치가 NF- κ B의 nuclear localization, 세포성장과 cytokine/chemokine의 생산을 증가시킨다고 하였다. MyD88의 발현이 없는 세포에서는 LPS 처치가 NF- κ B의 nuclear translocation이나 세포성장을 유발하지 않았다. 그러나 TLR-4-MyD88 활성화 이후의 downstream 신호전달과정은 아직 밝혀지지 않았다. Kelly 등의 보고에 따르면 TLR-4 신호전달과정이 paclitaxel의 항암제 감수성에 영향을 줄 수 있다고 보고하였는데, MyD88+인 세포에 paclitaxel 처치를 했을 경우 LPS 처치에서와 같이 proinflammatory cytokine을 분비하였고, 암세포가 apoptosis에 빠지지 않았다. 반면에 MyD88-인 세포에서는 paclitaxel 처치 후 cytokine/chemokine 분비가 일어나지 않았고 apoptosis가

유발되는 결과를 보였다. 본 연구에서는 MyD88의 발현 여부는 확인하지 않았고 단지 TLR-4의 발현 정도와 무병생존기간과는 유의한 상관관계를 보이지 않았다.

결론적으로 장액성 상피성난소암조직에서 TLR-4 mRNA는 발현되었으나, 정상난소조직에서보다는 유의하게 낮은 수치를 보였다. TLR-4 signaling이 종양의 성장과 paclitaxel 저항성과 관련된다는 기존의 보고와는 다른 결과이지만 난소암의 발생이나 paclitaxel 저항성과의 관계를 확인하기 위해서는 면역조직화학염색 등의 검사로 TLR-4와 MyD88의 발현을 확인할 필요가 있을 것으로 사료된다.

참고문헌

- Balkwill F, Coussens LM. Cancer: An inflammatory link. *Nature* 2004; 431: 405-6.
- Beachy PA, Karhadkar SS, Berman DM. Mending and malignancy. *Nature* 2004; 431: 402.
- Coussens LM, Werb Z. Inflammation and cancer. *Nature* 2002; 420: 860-7.
- Giudice LC, Kao LC. Endometriosis. *Lancet* 2004; 364: 1789-99.
- Riman T, Nilsson S, Persson IR. Review of epidemiological evidence for reproductive and hormonal factors in relation to the risk of epithelial ovarian malignancies. *Acta Obstet Gynecol Scand* 2004; 83: 783-95.
- Sekizawa A, Amemiya S, Otsuka J, Saito H, Farina A, Okai T, et al. Malignant transformation of endometriosis: Application of laser microdissection for analysis of genetic alterations according to pathological changes. *Med Electron Microsc* 2004; 37: 97-100.
- de Visser KE, Coussens LM. The interplay between innate and adaptive immunity regulates cancer development. *Cancer Immunol Immunother* 2005; 54: 1143-52.
- Stein D, Roth S, Vogelsang E, Nusslein-Volhard C. The polarity of the dorsoventral axis in the *Drosophila* embryo is defined by an extracellular signal. *Cell* 1991; 65: 725-35.
- Akira S, Uematsu S, Takeuchi O. Pathogen recognition and innate immunity. *Cell* 2006; 124: 783-801.
- Medzhitov R, Janeway C Jr. Innate immunity. *N Engl J Med* 2000; 343: 338-44.
- Akira S, Takeda K. Toll-like receptor signalling. *Nat Rev Immunol* 2004; 4: 499-511.
- Poltorak A, He X, Smirnova I, Liu MY, Van Huffel C, Du X, et al. Defective LPS signaling in C3H/HeJ and C57BL/10ScCr mice: Mutations in *Tlr4* gene. *Science* 1998; 282: 2085-8.
- Sun J, Wiklund F, Zheng SL, Chang B, Balter K, Li L, et al. Sequence variants in Toll-like receptor gene cluster (TLR6-TLR1-TLR10) and prostate cancer risk. *J Natl Cancer Inst* 2005; 97: 525-32.
- Schmausser B, Andrusis M, Endrich S, Muller-Hermelink HK, Eck M. Toll-like receptors TLR4, TLR5 and TLR9 on gastric carcinoma cells: An implication for interaction with *Helicobacter pylori*. *Int J Med Microbiol* 2005; 295: 179-85.
- Droemann D, Albrecht D, Gerdes J, Ulmer AJ, Branscheid D, Vollmer E, et al. Human lung cancer cells express functionally active Toll-like receptor 9. *Respir Res* 2005; 6: 1.
- Merrell MA, Ilvesaro JM, Lehtonen N, Sorsa T, Gehrs B, Rosenthal E, et al. Toll-like receptor 9 agonists promote cellular invasion by increasing matrix metalloproteinase activity. *Mol Cancer Res* 2006; 4: 437-47.
- Kelly MG, Alvero AB, Chen R, Silasi DA, Abrahams VM, Chan S, et al. TLR-4 signaling promotes tumor growth and paclitaxel chemoresistance in ovarian cancer. *Cancer Res* 2006; 66: 3859-68.
- Richards M, Tan S, Fong CY, Biswas A, Chan WK, Bongso A. Comparative evaluation of various human feeders for prolonged undifferentiated growth of human embryonic stem cells. *Stem Cells* 2003; 21: 546-56.
- Medzhitov R. Toll-like receptors and innate immunity. *Nat Rev Immunol* 2001; 1: 135-45.
- Abrahams VM, Bole-Aldo P, Kim YM, Straszewski-Chavez SL, Chaiworapongsa T, Romero R, et al. Divergent trophoblast responses to bacterial products mediated by TLRs. *J Immunol* 2004; 173: 4286-96.
- Abrahams VM, Mor G. Toll-like receptors and their role in the trophoblast. *Placenta* 2005; 26: 540-7.
- Pidgeon GP, Harmey JH, Kay E, Da Costa M, Redmond HP, Bouchier-Hayes DJ. The role of endotoxin/lipopolysaccharide in surgically induced tumour growth in a murine model of metastatic disease. *Br J Cancer* 1999; 81: 1311-7.
- Harmey JH, Bucana CD, Lu W, Byrne AM, McDonnell S, Lynch C, et al. Lipopolysaccharide-induced metastatic growth is associated with increased angiogenesis, vascular permeability and tumor cell invasion. *Int J Cancer* 2002; 101: 415-22.
- Akira S. Toll-like receptor signaling. *J Biol Chem* 2003; 278: 38105-8.
- Vicari AP, Caux C. Chemokines in cancer. *Cytokine Growth Factor Rev* 2002; 13: 143-54.
- Shimada M, Hernandez-Gonzalez I, Gonzalez-Robanya I, Richards JS. Induced expression of pattern recognition receptors in cumulus oocyte complexes: Novel evidence for innate immune-like functions during ovulation. *Mol Endocrinol* 2006; 20: 3228-39.
- Alvarez B, Revilla C, Chamorro S, Lopez-Fraga M, Alonso F, Dominguez J, et al. Molecular cloning, characterization and tissue expression of porcine Toll-like receptor 4. *Dev Comp Immunol* 2006; 30: 345-55.
- Rodriguez-Martinez S, Cancino-Diaz ME, Jimenez-Zamudio L, Garcia-Latorre E, Cancino-Diaz JC. TLRs and NODs mRNA expression pattern in healthy mouse eye. *Br J Ophthalmol* 2005; 89: 904-10.

Expression of TLR-4 in epithelial serous ovarian cancer

Chel Hun Choi, Jeong-Won Lee, Jung-Joo Choi, Woo Young Kim,
Tae-Joong Kim, Je-Ho Lee, Byoung-Gie Kim, Duk-Soo Bae

Department of Obstetrics & Gynecology, Samsung Medical Center, Sungkyunkwan University School of Medicine, Seoul, Korea

Objective : This study was to determine the expression of Toll-like receptor 4 (TLR-4) in ovarian serous adenocarcinoma tissues.

Methods : TLR-4 expression was evaluated at the RNA level by real-time quantitative RT-PCR, in 24 fresh frozen ovarian serous adenocarcinoma tissues and 9 normal ovarian tissues. TLR-4 expression was also evaluated by immunohistochemistry (IHC) in each three ovarian carcinoma tissues and normal ovarian tissues.

Results : Positive immunoreactivity for TLR-4 was observed in the normal ovarian tissues but not in the ovarian carcinoma tissues. The staining was localized in the cytoplasm as well as on the cell surface. Real-time quantitative RT-PCR revealed that TLR-4 expression was significantly lower in tumors than in normal ovarian tissues ($p=0.0003$). There were no significant correlations between clinical parameters and the expression level of TLR-4 mRNA in ovarian serous adenocarcinomas. However, tumors without LN metastasis ($p=0.068$) and lower grade ($p=0.075$) showed trends of higher TLR-4 mRNA expression.

Conclusion : TLR-4 expression was significantly lower in ovarian serous adenocarcinoma tissues than in normal ovarian tissues, and further studies on TLR-4 signaling pathway in ovarian carcinoma are needed.

Key Words : Toll-like receptor 4, Ovarian serous adenocarcinoma
